

三主応力制御による飽和粘土の非排水せん断試験

佐賀大学理工学部 正員・三浦哲彦
同 学生 梅崎健夫

1. まえがき

Cam-clay モデルは正規圧密粘土のようなひすみ硬化粘土に対しては適合性の高い応力ひすみ式であるとされている。¹⁾ 等者は、粒子破碎領域の砂もまた等ひすみ硬化の特性を示すことに着目して *Cam-clay* 式を適用することを試みた。²⁾ さらに、粒子破碎領域の砂の一層多く合うものとして、新しい仕事式に基く応力ひすみ式を提案した。³⁾ また、提案式は砂のみならず飽和粘土に対しても適合性は高いことと Walker の標準三軸圧縮データを用いて明らかにした。本報告は、上述の提案式の飽和粘土に対する適用をさらに詳しく調べるために、製作した三主応力制御せん断試験機によりカオリンの非排水せん断試験を行なしたものである。

2. 三主応力制御型せん断試験

2.1 実験試料 粉末状カオリン ($G_s=2.705$) を湿润状態にして1週間以上放置し、しかる後れ液性限界 50.0 % の2倍の含水比に調整、CBRモールドに入れて段階的に荷重を加え最終的に $\sigma_3 = 1 \text{ kgf/cm}^2$ で圧密して試料を準備した。押出した試料の上下端を各々 1.5 cm 程度切り落とし 7.8 cm 立方の供試体に成形した。平均含水比 49.9 %、同厚さ 1.35 cm 程度であった。

2.2 せん断試験装置 UCLA の Lade により考案された装置を製作した。その原理および特徴については落合⁴⁾ が報告している。図-1 は載荷装置 (ベルオフラン式、最大 2t) および三軸室 (内径 30 cm) の外観である。三軸室内のやや詳しい説明を図-2 に示している。

中间主応力 σ_2 の載荷面は $12 \times 6 \times 100 \text{ mm}$ の角棒状バルサー柱 6 本と同寸のステンレス棒 7 本が交互に重ねられて構成されており、理想的には鉛直荷重を受けた際にボアソン比 0 の状態でバルサー柱が圧縮され戴荷面は面一を保つ (本装置ではバルサー柱の品質が不十分で圧縮が進むといふことはみ出されてきた)。バルサー柱の圧縮に要する力は供試体には無効に伝達されるので、ロードセル検出の力は供試体のみに作用している。

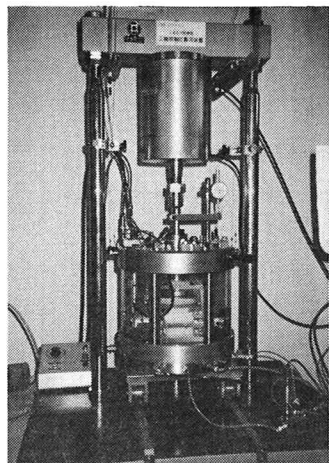


図-1 実験装置の外観

3. 実験方法と実験結果

3.1 圧密特性 標準圧密試験の結果は図-3 に示すようであつた。これより応力ひすみ式に用いる材料定数は $\lambda = \sigma_e / \ln(\sigma_{v2}/\sigma_{v1}) = 0.165$ 、また膨張曲線の勾配より $K = 0.016$ 。

3.2 CU 試験 供試体側面に排水物を用いたため、3 枚をはり付け、ゴムスリーブ ($\phi=10 \text{ cm}$ 、厚さ 0.2 mm) 内にセットした。上ペテスター、 σ_1 および σ_2 ロードセル、 ϵ_2 量位計等を取付け三軸室を組立てた。下ペテスターから水を供給し約 2 時間循環させて飽和度を高めた。負圧 0.1 kgf/cm^2 を作用させて供試体周辺の余分せ水

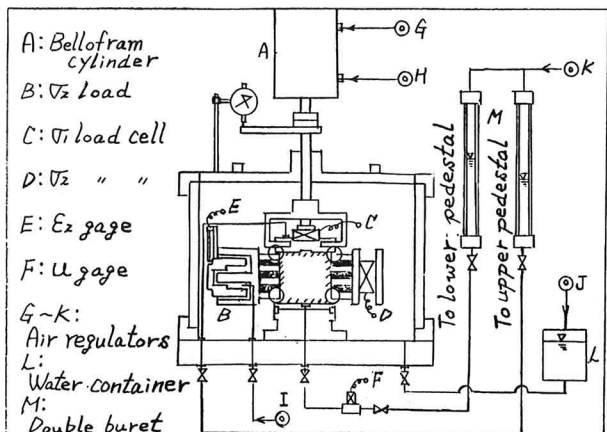


図-2 三主応力せん断試験機の概念図

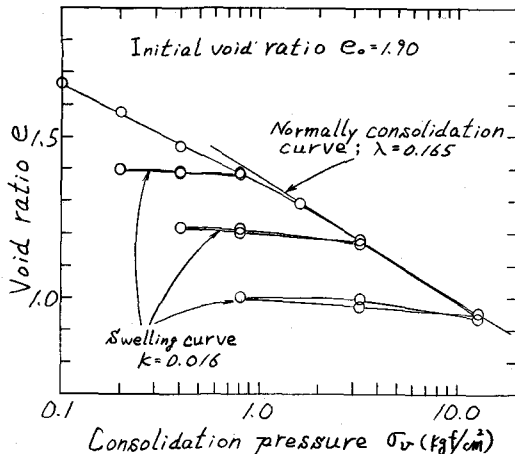


図-3 実験試料の圧密特性

を取除かれ、次いで等方圧力を一次圧密が完全に終了まで約20時間付加し、排水経路と同じバックフレッシュ 2 kgf/cm^2 をかけた後1時間放置した後非排水せん断試験を実施した。

3.3 実験結果 図-4は2種類の実験の有効応力経路である。実験個数が少ないが、本データを含めて4~5回の結果から、 $\sigma_2 = \sigma_3$ の条件では限界状態線の勾配 $M_3 = 1.38$ 、また $\sigma_2 \geq \sigma_3$ の条件では $M_2 = 1.62$ となる値を得た。後者の値が高くなるのは σ_2 面の拘束効果によるものと思われる。

図-5は $\sigma_1 \geq \sigma_2 = \sigma_3 = 2 \text{ kgf/cm}^2$ の場合と $\sigma_1 \geq \sigma_2 \geq \sigma_3 = 1 \text{ kgf/cm}^2$ の場合の応力ひずみ曲線および間隙水压の変化を示したものである。応力ひずみの予測式用いてCam-clay式と提案式³⁾は図中に示している。

図-5を見られるように、 $\sigma_2 = \sigma_3 = 2 \text{ kgf/cm}^2$ の場合には、実測曲線は2つの予測曲線のほぼ中间の位置にある。これに対して $\sigma_2 \geq \sigma_3 = 1 \text{ kgf/cm}^2$ の場合には提案式³⁾はやや大きめのひずみを予測するようであり、Cam-clay式の方が実測値に近い。同図には示されなかつたが、Burlandの修正式⁴⁾によれば、

Cam-clay式より左側の予測曲線が位置することになり本文で不適な2つの式の適合性と大きな違いはない。本実験の経験では、実験データ数も不十分であり、また試験装置もよろしく調整が難しか始めたところであるので、提案式とCam-clay式との優劣比較を行ってはできないが、少なくとも、提案式は饱和粘土においても適用できそうだとの確信は得られた。

謝辞 本実験装置を製作するにあたり九大港合英俊博士から御懇切かつ具体的に御教示いただいた。また、実験試料の入手、基礎データ等実験遂行にあつて佐大鬼頭克彦博士、吉武茂樹助手にお世話をなつた。深く感謝いたします。

文献 1)Roscoe, 1975, 2)三浦: 土論 No.282, 1979, 3)Munro: S&F, Vol.24, 1984, 4)落合: 土と基礎, No.306, 1983.

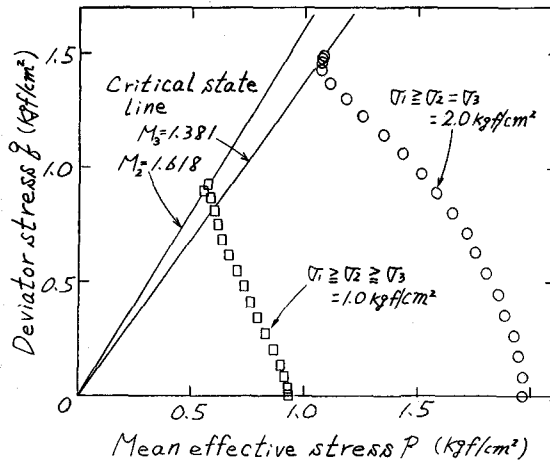


図-4 カオリンの圧密非排水せん断有効応力経路

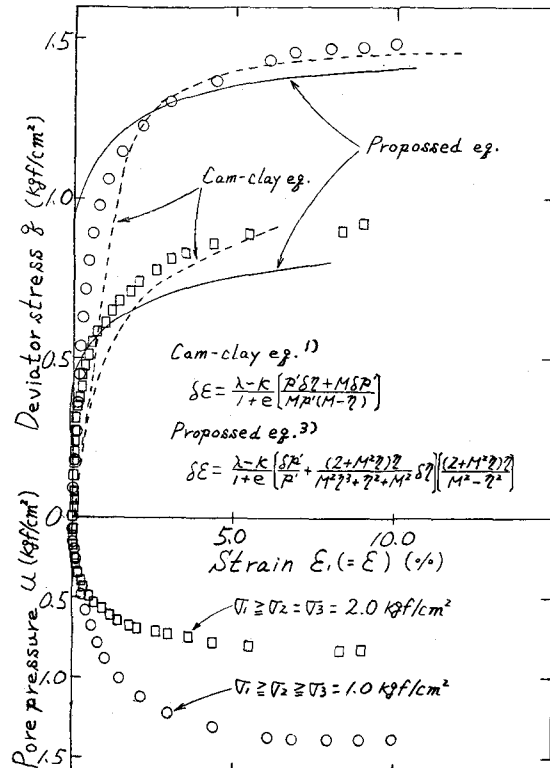


図-5 応力ひずみ曲線: 実測値と予測値の比較